



บทที่ 3

## ผลการศึกษา

### การศึกษาเปรียบเทียบลักษณะทางสีริวิทยา

#### 1. การวัดปริมาณคลอโรฟิลล์ (chl)

การวัดปริมาณ chl ในใบหม่อนทั้ง 5 พันธุ์ ที่อายุหลังปักชำกิ่ง 12, 16, 20, 24, 28, 32 และ 36 วัน โดยวัด chl a, chl b, chl a+b และ chl a/b ratio พบว่ามีความผันแปรมากทุกช่วงอายุของกิ่งปักชำ

##### 1.1 ปริมาณ chl a

จากการวิเคราะห์ความแปรปรวนของค่าเฉลี่ยปริมาณ chl a ในหม่อน ทั้ง 5 พันธุ์ที่ศึกษาพบว่า ปริมาณ chl a ไม่มีความแตกต่างกันในแต่ละพันธุ์ทางสถิติที่ระดับความเชื่อมั่น 95% (ตารางที่ 5.1) ทุกช่วงอายุที่ศึกษา ยกเว้นที่อายุ 12 วัน

ที่อายุ 12 วัน ซึ่งพบว่าปริมาณ chl a มีความแตกต่างกันระหว่างพันธุ์ เมื่อนำมาเปรียบเทียบค่าเฉลี่ยโดยวิธี DMRT พบว่าพันธุ์ไฝ (P) มีค่าเฉลี่ยปริมาณ chl a มากที่สุด และพันธุ์ไฝญี่ปุ่นรัมย์ (Y) มีค่าเฉลี่ยต่ำที่สุด พันธุ์ไฝ (P) และ พันธุ์คุณไฟ (K) มีค่าเฉลี่ยมากใกล้เคียงกันและแตกต่างในทางสถิติที่ระดับความเชื่อมั่น 95% กับพันธุ์น้อย (N) และพันธุ์ไฝญี่ปุ่นรัมย์ (Y) ซึ่งมีค่าเฉลี่ยต่ำกว่า ส่วนพันธุ์ญี่ปุ่นรัมย์ 60 (B) มีค่าเฉลี่ยไม่แตกต่างกับพันธุ์อื่น ๆ (ภาพที่ 3.1)

##### 1.2 ปริมาณ chl b

จากการวิเคราะห์ความแปรปรวนของค่าเฉลี่ยปริมาณ chl b ในหม่อน ทั้ง 5 พันธุ์ ที่ศึกษาพบว่าปริมาณ chl b ไม่มีความแตกต่างกันในทางสถิติที่ระดับความเชื่อมั่น 95% (ตารางที่ 5.2) ทุกช่วงอายุที่ศึกษายกเว้นที่อายุ 12 วัน

ที่อายุ 12 วัน ซึ่ง ชี้งพบว่าปริมาณ chl b มีความแตกต่างกันระหว่างพันธุ์ เมื่อนำมาเปรียบเทียบค่าเฉลี่ยโดยวิธี DMRT พบว่า พันธุ์ K มีค่าเฉลี่ยปริมาณ chl b มากที่สุด พันธุ์ Y มีค่าเฉลี่ยต่ำที่สุด พันธุ์ K และ P มีค่าเฉลี่ยมากกว่าพันธุ์อื่น ๆ ตามลำดับ และแตกต่างในทางสถิติจากพันธุ์ N และ Y ซึ่งมีค่าเฉลี่ยต่ำกว่า ส่วนพันธุ์ B มีค่าเฉลี่ยไม่แตกต่างกับพันธุ์อื่น ๆ (ภาพที่ 3.2)

### 1.3 ปริมาณ chl a+b

จากการวิเคราะห์ความแปรปรวน ของปริมาณค่าเฉลี่ย chl a+b ในหมู่อนุทั้ง 5 พันธุ์ที่ศึกษา พบว่าปริมาณ chl a+b ไม่มีความแตกต่างกันในทางสถิติ ที่ระดับความเชื่อมั่น 95% (ตารางที่ 5.3) ทุกช่วงอายุที่ศึกษายกเว้นที่อายุ 12 วัน (ภาพที่ 3.3)

ที่อายุ 12 วัน ซึ่งพบว่าปริมาณ chl a + b มีความแตกต่างกันระหว่างพันธุ์ เมื่อนำมาเปรียบเทียบค่าเฉลี่ยโดยวิธี DMRT พันธุ์ K มีค่าเฉลี่ยปริมาณ chl a+b มากที่สุด พันธุ์ Y มีค่าเฉลี่ยต่ำที่สุด พันธุ์ K และ P มีปริมาณ chl a+b มากกว่าพันธุ์อื่น ๆ ตามลำดับและแตกต่างกันในทางสถิติที่ระดับความเชื่อมั่น 95% กับพันธุ์ N และพันธุ์ Y ส่วนพันธุ์ B ไม่ต่างจากพันธุ์อื่น ๆ (ภาพที่ 3.3)

### 1.4 ปริมาณ chl a/b ratio

จากการวิเคราะห์ความแปรปรวนของปริมาณค่าเฉลี่ย chl a/b ratio ในหมู่อนุทั้ง 5 พันธุ์ที่ศึกษา พบว่าปริมาณ chl a/b ratio ไม่มีความแตกต่างกันในทางสถิติที่ระดับความเชื่อมั่น 95% (ตารางที่ 5.4) ทุกช่วงอายุที่ศึกษายกเว้นที่อายุ 32 วัน

ที่อายุ 32 วัน ซึ่งพบว่า ปริมาณ chl a/b ratio มีความแตกต่างกันระหว่างพันธุ์ เมื่อนำมาเปรียบเทียบค่าเฉลี่ยโดยวิธี DMRT พบว่า พันธุ์ B มีค่าเฉลี่ย chl a/b ratio มากที่สุด พันธุ์ K มีค่าเฉลี่ยต่ำที่สุด ส่วนพันธุ์ B, N, Y และ P มีค่าเฉลี่ยมากตามลำดับ และแตกต่างจากพันธุ์ K อย่างมีนัยสำคัญทางสถิติที่ระดับความเชื่อมั่น 95% (ภาพที่ 3.4)



## 2. การวิเคราะห์ปริมาณโปรตีน

การวิเคราะห์ปริมาณโปรตีน ในหม่อนทั้ง 5 พันธุ์ ทำการวิเคราะห์ที่อายุหลังปักชำ 12, 16, 20, 24, 28, 32 และ 36 วัน ทั้ง Soluble protein และ Insoluble protein พบว่ามีความพันแปรมากทุกอายุของกิงปักชำ

### 2.1 ปริมาณ Soluble protein (SP)

จากการวิเคราะห์ความแปรปรวนของค่าเฉลี่ยปริมาณ SP ในหม่อนทั้ง 5 พันธุ์ที่ศึกษาพบว่า ปริมาณ SP มีความแตกต่างในทางสถิติที่ช่วงอายุ 12, 16 และ 28 วัน ที่ระดับความเชื่อมั่น 95% (ตารางที่ 5.4)

ที่อายุ 12 วัน ซึ่งพบว่าปริมาณ SP มีความแตกต่างกันระหว่างพันธุ์ เมื่อนำมาเปรียบเทียบค่าเฉลี่ยโดยวิธี DMRT พบว่าค่าเฉลี่ยปริมาณ SP ของพันธุ์ B มากที่สุด และพันธุ์ N มีค่าเฉลี่ยต่ำที่สุด พันธุ์ B มีปริมาณค่าเฉลี่ยมากที่สุดแตกต่างในทางสถิติจากพันธุ์ K และพันธุ์ N ที่ระดับความเชื่อมั่น 95% ส่วนพันธุ์ Y และพันธุ์ P มีค่าเฉลี่ยไม่แตกต่างจากพันธุ์ B และพันธุ์ K แต่แตกต่างจาก พันธุ์ N ในทางสถิติ (ภาพที่ 3.5)

### 2.2 ปริมาณ Insoluble protein (ISP)

จากการวิเคราะห์ความแปรปรวนของค่าเฉลี่ยปริมาณ ISP ในหม่อน ทั้ง 5 พันธุ์ ที่ศึกษา พบว่าปริมาณ ISP มีความแตกต่างกันในทางสถิติ ในช่วงอายุที่ 12 วันในทางสถิติที่ระดับความเชื่อมั่น 95% (ตารางที่ 5.4)

ที่อายุ 12 วัน พบว่าปริมาณ ISP มีความแตกต่างกันระหว่างพันธุ์ เมื่อนำมาเปรียบเทียบค่าเฉลี่ยโดยวิธี DMRT พบว่า พันธุ์ B มีค่าเฉลี่ยปริมาณ ISP มากที่สุด พันธุ์ K มีค่าเฉลี่ยต่ำที่สุด ค่าเฉลี่ยในพันธุ์ B มากที่สุดแตกต่างจากค่าเฉลี่ยพันธุ์ N, Y, P และ K ในทางสถิติที่ระดับความเชื่อมั่น 95% ส่วนพันธุ์ K มีค่าเฉลี่ยต่ำสุดแตกต่างจากทุกพันธุ์ในทางสถิติ เช่น กัน ส่วนพันธุ์ N, Y และ P รองจาก พันธุ์ B ตามลำดับ มีค่าเฉลี่ยไม่แตกต่างจากกัน ในทางสถิติ (ภาพที่ 3.6)



### 3. การวิเคราะห์การเจริญเติบโต

#### 3.1 จำนวนกิ่งต่อต้น (BN)

จากการวิเคราะห์ความแปรปรวนของค่าเฉลี่ย BN ในหม้อนทั้ง 5 พันธุ์ ที่ศึกษาพบว่า ค่าเฉลี่ย BN มีความแตกต่างกันในทางสถิติที่ระดับความเชื่อมั่น 95% (ตารางที่ 5.7) ที่อายุหลังการปักชำกิ่ง 8 วัน

ที่อายุ 8 วัน เมื่อนำมาเปรียบเทียบค่าเฉลี่ยโดยวิธี DMRT พบว่า พันธุ์ Y มีค่าเฉลี่ย BN มากที่สุด พันธุ์ N มีค่าเฉลี่ยต่ำที่สุด พันธุ์ Y และพันธุ์ K มีค่าเฉลี่ยมากใกล้เคียงกันแตกต่างทางสถิติกับพันธุ์ N ที่ระดับความเชื่อมั่น 95% ส่วนค่าเฉลี่ยพันธุ์ B และ พันธุ์ P ไม่แตกต่างจากพันธุ์อื่น ๆ (ภาพที่ 3.7)

#### 3.2 ความยาวกิ่งหมู่อน (BL)

จากการวิเคราะห์ความแปรปรวนของค่าเฉลี่ย BL ในหม้อนทั้ง 5 พันธุ์ ที่ศึกษาพบว่า ค่าเฉลี่ย BL มีความแตกต่างกันในทางสถิติที่ระดับความเชื่อมั่น 95% (ตารางที่ 5.8) ทุกอายุ ยกเว้นที่อายุหลังปักชำกิ่ง 32 วัน ไม่แตกต่างกันในต่างสถิติ

ที่อายุ 8 วัน ค่าเฉลี่ย BL มีความแตกต่างกันระหว่างพันธุ์ เมื่อนำมาเปรียบเทียบค่าเฉลี่ยโดยวิธี DMRT พบว่า พันธุ์ K มีค่าเฉลี่ย BL มากที่สุด พันธุ์ B ค่าเฉลี่ยต่ำที่สุด มีความแตกต่างของค่าเฉลี่ย BL ในทางสถิติ ที่ระดับความเชื่อมั่น 99% ค่าเฉลี่ยพันธุ์ K มากที่สุดแตกต่างจากพันธุ์อื่น ๆ ในทางสถิติ พันธุ์ N และ พันธุ์ Y มีค่าเฉลี่ยรองจาก พันธุ์ K และแตกต่างจากพันธุ์อื่น ๆ ส่วนพันธุ์ B และพันธุ์ P ซึ่งมีค่าเฉลี่ยต่ำใกล้เคียงกันแตกต่างจากพันธุ์อื่น ๆ ในทางสถิติ เช่นกัน (ภาพที่ 3.8)

ที่อายุ 16 วัน ค่าเฉลี่ย BL มีความแตกต่างระหว่างพันธุ์ เมื่อนำมาเปรียบเทียบค่าเฉลี่ยโดยวิธี DMRT พบว่า ในพันธุ์ K มีค่าเฉลี่ย BL มากที่สุด พันธุ์ P มีค่าเฉลี่ยต่ำที่สุด จากการศึกษา พบว่า ค่าเฉลี่ย BL พันธุ์ K มากที่สุด และแตกต่างจากพันธุ์อื่น ๆ ในทางสถิติที่ระดับความเชื่อมั่น 99% ค่าเฉลี่ยพันธุ์ N, Y, P และ B รองมาตามลำดับค่าเฉลี่ยใน ค่าเฉลี่ยในพันธุ์ N มากกว่า และแตกต่างจากพันธุ์ P และพันธุ์ B ส่วนพันธุ์ Y ค่าเฉลี่ยไม่แตกต่างจากพันธุ์อื่น ๆ ในทางสถิติยกเว้น พันธุ์ K (ภาพที่ 3.8)



ที่อายุ 24 วัน ค่าเฉลี่ย BL มีความแตกต่างกันระหว่างพันธุ์ เมื่อนำมาเปรียบเทียบค่าเฉลี่ยโดยวิธี DMRT พบว่า ค่าเฉลี่ย BL ในพันธุ์ N มากที่สุดแตกต่างจากทุกพันธุ์ในทางสถิติที่ระดับความเชื่อมั่น 99% ส่วนพันธุ์ Y, P, K และ B ค่าเฉลี่ยลดหลั่นตามลำดับ โดยที่ค่าเฉลี่ย B ต่ำที่สุด ไม่ต่างกับพันธุ์ K ในทางสถิติ (ภาพที่ 3.8)

### 3.3 จำนวนใบ (LN)

จากการวิเคราะห์ความแปรปรวนของค่าเฉลี่ย LN ในหมู่อน ทั้ง 5 พันธุ์ ที่ศึกษาพบว่าค่าเฉลี่ย LN มีความแตกต่างกันในแต่ละพันธุ์ทางสถิติที่ระดับความเชื่อมั่น 95% และ 99% (ตารางที่ 5.9) ทุกอายุหลังจากปักชำกิ่งยกเว้นที่อายุหลังจากปักชำกิ่ง 24 วัน ไม่มีความแตกต่างกัน ในทางสถิติ

ที่อายุ 8 วันค่าเฉลี่ย LN มีความแตกต่างกันระหว่างพันธุ์ เมื่อนำมาเปรียบเทียบค่าเฉลี่ยโดยวิธี DMRT พบว่าพันธุ์ K มีค่าเฉลี่ย LN มากที่สุด ส่วนพันธุ์ B มีค่าเฉลี่ยต่ำที่สุด พบว่าค่าเฉลี่ยพันธุ์ K มากที่สุด แตกต่างในทางสถิติที่ระดับความเชื่อมั่น 95% จากพันธุ์ N, P และ B ซึ่งมีค่าเฉลี่ยรองมาตามลำดับ ส่วนพันธุ์ Y มีค่าเฉลี่ยไม่แตกต่างในทางสถิติจากพันธุ์อื่น ๆ (ภาพที่ 3.9)

ที่อายุ 16 วัน ค่าเฉลี่ย LN ทุกพันธุ์ เพิ่มขึ้นจากอายุหลังจากปักชำกิ่ง 8 วัน ค่าเฉลี่ยมีความแตกต่างกันระหว่างพันธุ์ เมื่อเปรียบเทียบค่าเฉลี่ยโดยวิธี DMRT พบว่า พันธุ์ K มีค่าเฉลี่ย LN มากที่สุด พันธุ์ P ค่าเฉลี่ยต่ำที่สุด จากการวิเคราะห์ความแปรปรวน พบว่าพันธุ์ K มีค่าเฉลี่ยมากที่สุดแตกต่างในทางสถิติจากพันธุ์อื่น ๆ ที่ระดับความเชื่อมั่น 99% พันธุ์ Y, N, B และ P มีค่าเฉลี่ยรองจากพันธุ์ K ตามลำดับ พันธุ์ P มีค่าเฉลี่ยต่ำที่สุด ต่างจากพันธุ์ Y, N และ K ในทางสถิติกิ่งเว้น พันธุ์ B ส่วน พันธุ์ Y มีค่าเฉลี่ยต่าง ๆ จากพันธุ์อื่น ในทางสถิติ (ภาพที่ 3.9)

ที่อายุ 32 วัน ค่าเฉลี่ย LN มีความแตกต่างกันระหว่างพันธุ์ เมื่อนำมาเปรียบเทียบค่าเฉลี่ยโดยวิธี DMRT พบว่า พันธุ์ P มีค่าเฉลี่ยมากที่สุด พันธุ์ B มีค่าเฉลี่ยต่ำที่สุด พบว่าพันธุ์ P ค่าเฉลี่ยมากที่สุดแตกต่างจากทุกพันธุ์ในทางสถิติที่ระดับความเชื่อมั่น 95% ค่าเฉลี่ยของพันธุ์ N, Y, K และ B รองจาก พันธุ์ P ตามลำดับ ค่าเฉลี่ยพันธุ์ N และพันธุ์ Y มากใกล้เคียงกัน แตกต่างในทางสถิติกับพันธุ์ B ซึ่งมีค่าเฉลี่ยต่ำที่สุด พันธุ์ K ค่าเฉลี่ยรองจาก พันธุ์ Y ไม่ต่างจากทุกพันธุ์ ยกเว้น พันธุ์ P (ภาพที่ 3.9)

### 3.4 น้ำหนักแห้งใน (LDW)

จากการวิเคราะห์ความแปรปรวนของค่าเฉลี่ยพบว่า ค่าเฉลี่ย LDW มีความแตกต่างในทางสถิติ ที่ระดับความเชื่อมั่น 95% และ 99% ที่อายุ 16, 24 และ 32 วัน (ตารางที่ 5.10)

ที่อายุ 16 วัน พบว่าค่าเฉลี่ย LDW มีความแตกต่างกันระหว่างพันธุ์ เมื่อนำมาเปรียบเทียบค่าเฉลี่ยโดยวิธี DMRT พบว่า พันธุ์ K, B, N และ Y มีค่าเฉลี่ยจากมากที่สุดไปยังน้อยที่สุดตามลำดับ ค่าเฉลี่ยมากกว่าพันธุ์ P และแตกต่างกันในทางสถิติที่ระดับความเชื่อมั่น 95% (ภาพที่ 3.10)

ที่อายุ 24 วัน ค่าเฉลี่ย LDW มีความแตกต่างกันระหว่างพันธุ์ เมื่อนำมาเปรียบเทียบค่าเฉลี่ยโดยวิธี DMRT พบว่า ค่าเฉลี่ยพันธุ์ N มากที่สุด พันธุ์ Y ต่ำที่สุด พบว่าพันธุ์ N มีค่าเฉลี่ยมากและแตกต่างในทางสถิติที่ระดับความเชื่อมั่น 95% กับ พันธุ์ Y และพันธุ์ P ส่วนพันธุ์ B และพันธุ์ K มีค่าเฉลี่ยไม่แตกต่างจากพันธุ์อื่น ๆ (ภาพที่ 3.10)

ที่อายุ 32 วัน ค่าเฉลี่ย LDW มีความแตกต่างกันระหว่างพันธุ์ เมื่อนำมาเปรียบเทียบค่าเฉลี่ยโดยวิธี DMRT พบว่า ค่าเฉลี่ยพันธุ์ N มากที่สุด ค่าเฉลี่ยพันธุ์ Y ต่ำที่สุด พบว่า พันธุ์ N มีค่าเฉลี่ยมาก และแตกต่างในทางสถิติกับพันธุ์ K และพันธุ์ Y ซึ่งมีค่าเฉลี่ยต่ำใกล้เคียงกัน ที่ระดับความเชื่อมั่น 99% ในทางสถิติ ส่วนพันธุ์ B และพันธุ์ K มีค่าเฉลี่ยไม่แตกต่างจากพันธุ์อื่น ๆ (ภาพที่ 3.10)

### 3.5 พื้นที่ใบ (LA)

จากการวิเคราะห์ความแปรปรวนของค่าเฉลี่ยพบว่า ค่าเฉลี่ย LA ในหมู่อนทั้ง 5 พันธุ์ที่ศึกษา มีความแตกต่างในทางสถิติ ที่ระดับความเชื่อมั่น 99% และ 95% (ตารางที่ 5.11) ที่ อายุหลังจากปักชำกิ่ง 8, 16 และ 24 วัน ส่วนที่อายุหลังจากปักชำกิ่ง 32 วัน ไม่มีความแตกต่างกันในทางสถิติ (ภาพที่ 3.11)

ที่อายุ 8 วัน ค่าเฉลี่ย LA มีความแตกต่างกันระหว่างพันธุ์ เมื่อนำมาเปรียบเทียบค่าเฉลี่ยโดยวิธี DMRT พบว่า ค่าเฉลี่ยของพันธุ์ K มากที่สุด พันธุ์ P มีค่าเฉลี่ยต่ำที่สุดพบว่า

ค่าเฉลี่ย LA ของพันธุ์ K มากแตกต่างในทางสถิติกับพันธุ์ B, N, Y และ P ซึ่งมีค่าเฉลี่ยรองลงมาตามลำดับ ในทางสถิติที่ระดับความเชื่อมั่น 99% (ภาพที่ 3.11)

ที่อายุ 16 วัน ค่าเฉลี่ย LA มีความแตกต่างกันระหว่างพันธุ์ เมื่อนำมาเปรียบเทียบค่าเฉลี่ยโดยวิธี DMRT พบว่า ค่าเฉลี่ย LA ของพันธุ์ K มากที่สุด พันธุ์ P ต่ำที่สุดพบว่าค่าเฉลี่ยพันธุ์ K ใกล้เคียงกับพันธุ์ Y และพันธุ์ N มีค่าเฉลี่ยมากแตกต่างกับ พันธุ์ B และพันธุ์ P ในทางสถิติที่ระดับความเชื่อมั่น 99% ส่วนพันธุ์ B มีค่าเฉลี่ยรองจากพันธุ์ N มีค่าแตกต่างในทางสถิติจากพันธุ์อื่น ๆ (ภาพที่ 3.11)

ที่อายุ 24 วัน ค่าเฉลี่ย LA มีความแตกต่างกันระหว่างพันธุ์ เมื่อนำมาเปรียบเทียบค่าเฉลี่ยโดยวิธี DMRT พบว่า ค่าเฉลี่ย LA พันธุ์ N มากที่สุด ส่วนพันธุ์ B ค่าเฉลี่ยต่ำที่สุด พบว่าค่าเฉลี่ย LA ในพันธุ์ N มากแตกต่างจากพันธุ์ K, P และ B ตามลำดับ ในทางสถิติที่ระดับความเชื่อมั่น 95% ส่วนค่าเฉลี่ยพันธุ์ Y ไม่แตกต่างจากพันธุ์อื่น ๆ (ภาพที่ 3.11)

### 3.6 Relative Growth Rate (RGR)

จากการวิเคราะห์ความแปรปรวน พบว่าค่าเฉลี่ยของ RGR ในหมู่นอง พัง 5 พันธุ์ที่ศึกษา พบว่าค่าเฉลี่ย RGR มีความแตกต่างกันระหว่างพันธุ์ 5 พันธุ์ในทางสถิติ ที่ระดับความเชื่อมั่น 99% ที่ช่วงอายุ 8-16 วัน (ตารางที่ 5.12)

ที่ช่วงอายุ 8-16 วัน ค่าเฉลี่ย RGR มีความแตกต่างกันระหว่างพันธุ์ เมื่อนำมาเปรียบเทียบค่าเฉลี่ยโดยวิธี DMRT พบว่า ค่าเฉลี่ย RGR ของพันธุ์ P มากที่สุด ค่าเฉลี่ยพันธุ์ K ต่ำที่สุด จากการศึกษาพบว่าค่าเฉลี่ย RGR ของพันธุ์ P มากที่สุดแตกต่างจากพันธุ์ N, B, Y และ K ซึ่งมีค่าเฉลี่ยรองมาตามลำดับในทางสถิติที่ระดับความเชื่อมั่น 99% (ภาพที่ 3.12)

### 3.7 Relative Leaf area Growth Rate (RLaGR)

จากการวิเคราะห์ความแปรปรวนพบว่าค่าเฉลี่ยของ RLaGR ของหมู่นอง พัง 5 พันธุ์ มีความแตกต่างกันที่ ช่วงอายุ 0-8, 8-16 วัน ในทางสถิติที่ระดับความเชื่อมั่น 95% และ 99% ตามลำดับ (ตารางที่ 5.13)



ที่ช่วงอายุ 0-8 วัน ค่าเฉลี่ย RLaGR มีความแตกต่างกันระหว่างพันธุ์ เมื่อนำมาเปรียบเทียบค่าเฉลี่ยโดยวิธี DMRT พบว่า ค่าเฉลี่ย RLaGR ของ พันธุ์ Y มากที่สุด ส่วนพันธุ์ P มีค่าเฉลี่ยต่ำที่สุด พบว่าพันธุ์ Y มีค่าเฉลี่ยใกล้เคียงกับพันธุ์ N และพันธุ์ B ตามลำดับ มีความแตกต่างกันในทางสถิติที่ระดับความเชื่อมั่น 95% กับพันธุ์ P ส่วนพันธุ์ K ไม่แตกต่างจากพันธุ์อื่น ๆ (ภาพที่ 3.13)

ที่ช่วงอายุ 8-16 วัน ค่าเฉลี่ย RLaGR มีความแตกต่างกันระหว่างพันธุ์ เมื่อนำมาเปรียบเทียบค่าเฉลี่ยโดยวิธี DMRT พบว่า ค่าเฉลี่ย RLaGR ของพันธุ์ P มากที่สุด พันธุ์ K ค่าเฉลี่ยต่ำที่สุด พบว่า พันธุ์ P มีค่าเฉลี่ยมากแตกต่างจากพันธุ์ N, B, Y และ K ตามลำดับ ในทางสถิติที่ระดับความเชื่อมั่น 99% (ภาพที่ 3.13)

#### 4. การวัดอัตราการสังเคราะห์แสงสุทธิ ( $Pn$ ) โดยใช้เครื่อง IRGA

จากการวิเคราะห์ความแปรปรวนของค่าเฉลี่ยการหายใจในที่มีดี และค่าเฉลี่ย  $Pn$  ที่ความเข้มแสง 500 และ  $1,500 \mu\text{mol m}^{-2}\text{s}^{-1}$  พบว่าค่าเฉลี่ย  $Pn$  มีความแตกต่างกันในทางสถิติที่ระดับความเชื่อมั่น 99% (ตารางที่ 5.14)

#### การหายใจในที่มีดี

ค่าเฉลี่ยการหายใจในที่มีดี ทุกค่าเป็นลบ ค่าเฉลี่ยพันธุ์ K มากที่สุด พันธุ์ N มีค่าเฉลี่ยต่ำที่สุด ค่าเฉลี่ยมีความแตกต่างกันระหว่างพันธุ์เมื่อนำมาเปรียบเทียบค่าเฉลี่ยโดยวิธี DMRT พบว่า ค่าเฉลี่ยการหายใจในที่มีดในพันธุ์ K มากมีความแตกต่างจากพันธุ์อื่นในทางสถิติที่ระดับความเชื่อมั่น 99% พันธุ์ N มีค่าเฉลี่ยต่ำที่สุดแตกต่างจากพันธุ์อื่น ๆ เช่นกัน ส่วนพันธุ์ P, Y และ B มีค่าเฉลี่ยรองจากพันธุ์ K และมากกว่า พันธุ์ N ค่าเฉลี่ยในกลุ่มนี้ไม่แตกต่างกัน (ภาพที่ 3.14)

#### ที่ $\text{PFD } 1,500 \mu\text{mol m}^{-2}\text{s}^{-1}$

ค่าเฉลี่ย  $Pn$  มีความแตกต่างกันระหว่างพันธุ์ เมื่อนำมาเปรียบเทียบค่าเฉลี่ยโดยวิธี DMRT พบว่า ในพันธุ์ Y มีค่าเฉลี่ยต่ำที่สุด ค่าเฉลี่ยพันธุ์ K มากที่สุด พบว่าพันธุ์ K, P, B และ N ไม่แตกต่างกันในทางสถิติแต่ต่างจาก พันธุ์ Y ซึ่งค่าเฉลี่ยต่ำที่สุดในทางสถิติ ที่ระดับความเชื่อมั่น 95% (ภาพที่ 3.14)



### 5. การวัดอัตราการสัมเคราะห์แสงโดยใช้ Oxygen electrode

จากการวิเคราะห์ความแปรปรวนของค่าเฉลี่ย วัดการหายใจในที่มีดและค่า Oxygen evolution วัดโดยใช้ Oxygen electrode ที่ความเข้มแสง 500 และ  $1,000 \mu\text{mol m}^{-2}\text{s}^{-1}$  พบว่าค่าเฉลี่ย Oxygen evolution ในหม้อน หั้ง 5 พันธุ์ ที่ศึกษามีความแตกต่างกันในทางสถิติ ที่ระดับความเชื่อมั่น 95% และ 99% (ตารางที่ 5.15)

#### การวัดการหายใจในที่มีด

ค่าเฉลี่ยการหายใจในที่มีด เป็นลบ ค่าเฉลี่ยมีความแตกต่างกันระหว่างพันธุ์ เมื่อนำมาเปรียบเทียบค่าเฉลี่ยโดยวิธี DMRT พบว่า ค่าเฉลี่ยของพันธุ์ N มากที่สุด ค่าเฉลี่ยพันธุ์ P ต่ำที่สุด พบว่าค่าเฉลี่ยพันธุ์ N มากใกล้เคียงกับพันธุ์ B มีความแตกต่างจากพันธุ์ Y, K และ P ซึ่งมีค่าเฉลี่ยต่ำกว่าตามลำดับ ในทางสถิติที่ระดับความเชื่อมั่น 99% (ภาพที่ 3.15)

#### ที่ PFD 500 $\mu\text{mol m}^{-2}\text{s}^{-1}$

พันธุ์ Y มีค่าเฉลี่ย Oxygen evolution มากที่สุด ค่าเฉลี่ยมีความแตกต่างกันระหว่างพันธุ์เมื่อนำมาเปรียบเทียบค่าเฉลี่ยโดยวิธี DMRT พบว่า พันธุ์ N มีค่าเฉลี่ยต่ำที่สุด พบว่าค่าเฉลี่ยพันธุ์ Y มาก ใกล้เคียงกับพันธุ์ P มีความแตกต่างจาก พันธุ์ B และพันธุ์ N ซึ่งมีค่าเฉลี่ยต่ำกว่าในทางสถิติที่ระดับความเชื่อมั่น 95% ส่วนพันธุ์ K ค่าเฉลี่ยไม่ต่างจากพันธุ์อื่น ๆ (ภาพที่ 3.15)

#### ที่ PFD 1,000 $\mu\text{mol m}^{-2}\text{s}^{-1}$

พันธุ์ P มีค่าเฉลี่ย Oxygen evolution มากที่สุด ค่าเฉลี่ยมีความแตกต่างกันระหว่างพันธุ์ เมื่อนำมาเปรียบเทียบค่าเฉลี่ยโดยวิธี DMRT พบว่า พันธุ์ B ค่าเฉลี่ยต่ำที่สุด พันธุ์ P มีค่าเฉลี่ยมากที่สุด มีความแตกต่างกับทุกพันธุ์ในทางสถิติที่ระดับความเชื่อมั่น 99% ยกเว้น พันธุ์ Y ซึ่งมีค่าเฉลี่ยรองจากพันธุ์ P และมีค่าเฉลี่ยไม่ต่างกัน พันธุ์ Y มีค่าเฉลี่ยไม่แตกต่างจากพันธุ์ P และพันธุ์ K ในทางสถิติ พันธุ์ N และพันธุ์ B มีค่าเฉลี่ยต่ำกว่าพันธุ์อื่น ๆ แตกต่างจากพันธุ์อื่น ๆ ในทางสถิติ (ภาพที่ 3.15)

## ผลการวิเคราะห์เบรย์บเทียนลักษณะทางสัมฐานวิทยา

การวิเคราะห์ลักษณะสัมฐานวิทยา 8 ลักษณะ (ตารางที่ 5.16-5.27) ของหม่อน 5 พันธุ์ โดยใช้เทคนิคการวิเคราะห์การจัดจำแนก ได้แบ่งการวิเคราะห์ออกเป็น 2 ช่วง คือ ช่วงที่ 1 เมื่อ อายุของกิงปักชำ 14 วัน ช่วงที่ 2 เมื่ออายุของกิงปักชำ 28 วัน

ช่วงที่ 1 เมื่ออายุของกิงปักชำเป็น 14 วัน ได้แสดงค่าเฉลี่ยและค่าเบี่ยงเบนมาตรฐาน ของ ลักษณะสัมฐานวิทยาทั้ง 8 ลักษณะ ไว้ในตารางที่ 5.16 ตารางที่ 5.17 แสดงค่า Wilks' Lambda และ univariate F-ratio ซึ่งได้จากการวิเคราะห์ความแปรปรวนแบบทางเดียว ของลักษณะ สัมฐานวิทยาที่ละลักษณะ ซึ่งสรุปได้ว่าหม่อน 5 พันธุ์ที่ศึกษามีลักษณะแตกต่างกันทางสถิติ ที่ ระดับความเชื่อมั่น 95 หรือ 99 เปอร์เซ็นต์

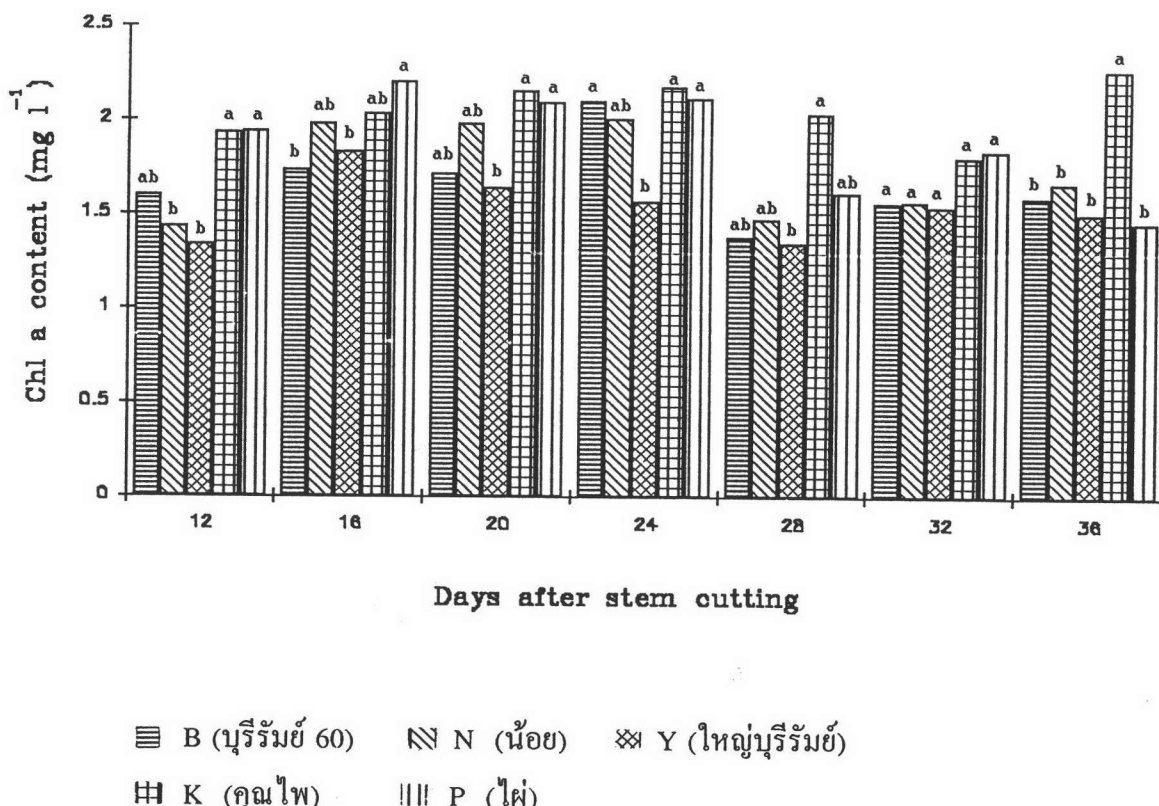
แต่ในการวิเคราะห์ด้วยแพรพหุคูณ โดยใช้เทคนิคการวิเคราะห์การจัดจำแนกจะพิจารณาด้วย แปรซึ่งในที่นี้คือ ลักษณะสัมฐานวิทยาทั้ง 8 ลักษณะ ไปพร้อม ๆ กัน โดยสร้างสมการจัดจำแนก จากตารางที่ 5.18 จะได้สมการจัดจำแนก 4 สมการ ซึ่งเมื่อพิจารณาว่าสมการจัดจำแนกได้เป็น สม การที่ดีที่สุด โดยพิจารณาจากค่า eigenvalue จะเป็นสมการที่ 1 2 และ 3 ตามลำดับ และ เมื่อยก กำลังสองค่า canonical correlation จะได้ 0.54, 0.49, 0.21 และ 0.07 เรียงตามลำดับจากสมการ ที่ 1-4 และเมื่อพิจารณาจากค่า Chi Square จะเห็นได้ว่าสมการที่ 1-3 จะมีความแตกต่างอย่างมี นัยสำคัญทางสถิติที่ระดับความเชื่อมั่น 99% ( $P<0.01$ ) และเมื่อพิจารณาจากความมีส่วนร่วมในการ จัดจำแนกของแต่ละสมการจะเห็นได้ว่าสมการที่ 1-3 จะมีส่วนร่วมในการจัดจำแนกรังนี้ 96.67% จึงสรุปได้ว่า เมื่อวิเคราะห์ลักษณะสัมฐานวิทยา 8 ลักษณะของหม่อน 5 พันธุ์ ที่อายุของกิงปักชำ 14 วัน จะได้สมการจัดจำแนก 3 สมการ

เมื่อพิจารณาถึงลักษณะสัมฐานวิทยาใดที่มีความสำคัญต่อสมการจัดจำแนกทั้ง 3 สม การจะพบว่าลักษณะสัมฐานวิทยาทั้ง 8 ลักษณะที่ศึกษาเป็นลักษณะที่สามารถใช้ในการจำแนก พันธุ์หม่อนทั้ง 5 พันธุ์ (ตารางที่ 5.19 และตารางที่ 5.20) และเมื่อคูประสิทธิภาพของการจัดกลุ่ม (ตารางที่ 5.21) จะเห็นว่าสมการจัดจำแนกสามารถจัดกลุ่มได้ถูกต้อง 73 เปอร์เซ็นต์

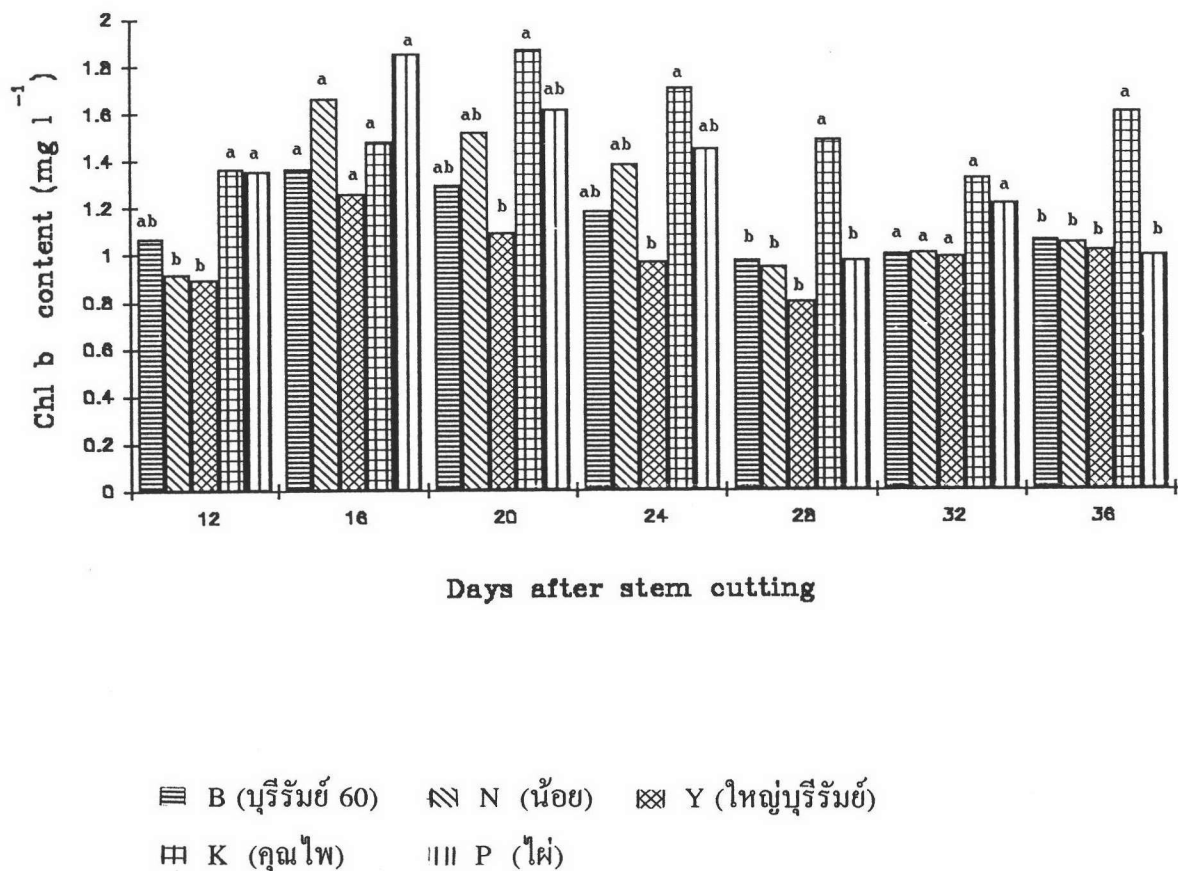
ช่วงที่ 2 เมื่ออายุของกิงปักชำเป็น 28 วัน ได้แสดงค่าเฉลี่ย และค่าเบี่ยงเบนมาตรฐาน ของลักษณะสัณฐานวิทยา ทั้ง 8 ลักษณะ ไว้ใน ตารางที่ 5.22 ค่า Wilks' Lambda และ univariate F-ratio ซึ่งได้จากการวิเคราะห์ความแปรปรวนแบบทางเดียว ของลักษณะ สัณฐานวิทยาที่ละลักษณะ (ตารางที่ 5.23) ซึ่งสรุปได้ว่า ลักษณะที่ศึกษา ค่าความยาวกิง (BL) จำนวนตา (NN) จำนวนใบ (LN) ความกว้างของใบ (LB) ความยาวรากเฉลี่ย (ARL) จะมี ความแตกต่างทางสถิติที่ระดับความเชื่อมั่น 99% ในหมู่อนทั้ง 5 พันธุ์ ส่วนลักษณะความยาวของรากที่ยาวที่สุด (LRL) จะมีความแตกต่างทางสถิติที่ระดับความเชื่อมั่น 95% และ มีลักษณะสัณฐานวิทยา 1 ลักษณะคือ จำนวนกิง (BN) จะไม่มีความแตกต่างในหมู่อนทั้ง 5 พันธุ์ ที่ระดับความเชื่อมั่น 95%

จากตารางที่ 5.24 แสดงสมการการจัดจำแนกจำนวน 4 สมการ ซึ่งเมื่อพิจารณา จากค่า eigenvalue มีเพียงสมการที่ 1 สมการเดียวที่มีค่าเกิน 1 และมีค่าสูงสุด และเมื่อพิจารณาจากค่า canonical correlation ยกกำลังสอง สมการ 1 ถึง 4 จะมีเป็น 0.79, 0.28, 0.15 และ 0.10 ตามลำดับและเมื่อพิจารณาจากค่า Chi Square จะเห็นได้ว่าสมการที่ 1-2 จะมีความแตกต่างอย่างมีนัยสำคัญทางสถิติที่ระดับความเชื่อมั่น 99% ( $P<0.01$ ) ส่วนสมการที่ 3 จะมีความแตกต่างอย่างมีนัยสำคัญทางสถิติที่ระดับความเชื่อมั่น 95% ( $P<0.05$ ) และ เมื่อพิจารณาจากความมีส่วนร่วมในการจัดจำแนกของแต่ละสมการจะเห็นได้ว่า สมการที่ 1-3 จะมีส่วนร่วม ในการจัดจำแนกรังนี้ 97.3% ซึ่งสรุปได้ว่า เมื่อวิเคราะห์ลักษณะสัณฐานวิทยา 8 ลักษณะของหมู่อน 5 พันธุ์ ที่อายุของกิงปักชำ 28 วัน จะได้สมการจัดจำแนก 3 สมการ

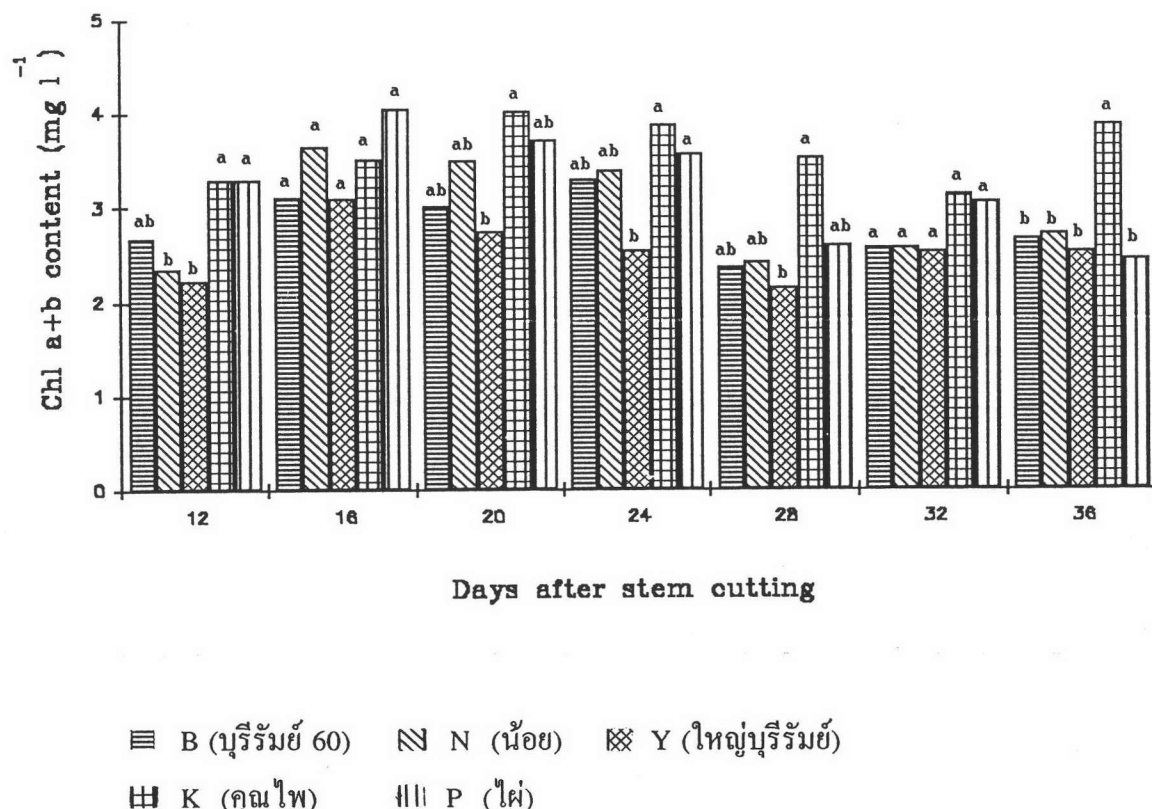
ตารางที่ 5.25 แสดงค่า Standardized Canonical Discriminant Function Coefficients ซึ่งสมการที่ 1-3 มีลักษณะสัณฐานวิทยา 6 ลักษณะที่มีความสำคัญต่อการจำแนก กลุ่มคือลักษณะ จำนวนกิง (BN) ความยาวกิง (BL) จำนวนใบ (LN) ความกว้างของใบ (LB) ความยาวของใบ (LL) และ ความยาวรากเฉลี่ย (ARL) แต่เมื่อพิจารณาจากค่า Pooled-within-groups correlation ระหว่างลักษณะสัณฐานวิทยาที่ใช้จำแนกกับสมการจัดจำแนก (ตารางที่ 5.26) สมการที่ 1-3 จะมีลักษณะสัณฐานวิทยาที่สำคัญ 5 ลักษณะคือ ความยาวใบ (LL) ความยาวกิง (BL) ความกว้างของใบ (LB) จำนวนใบ (LN) และ ความยาวรากเฉลี่ย (ARL) และ เมื่อถูกความสามารถในการจัดกลุ่ม ของสมการจากการวิเคราะห์ครั้งนี้ พนบว่าสามารถจัดกลุ่มได้ถูกต้อง 76 เปอร์เซนต์ (ตารางที่ 5.27)



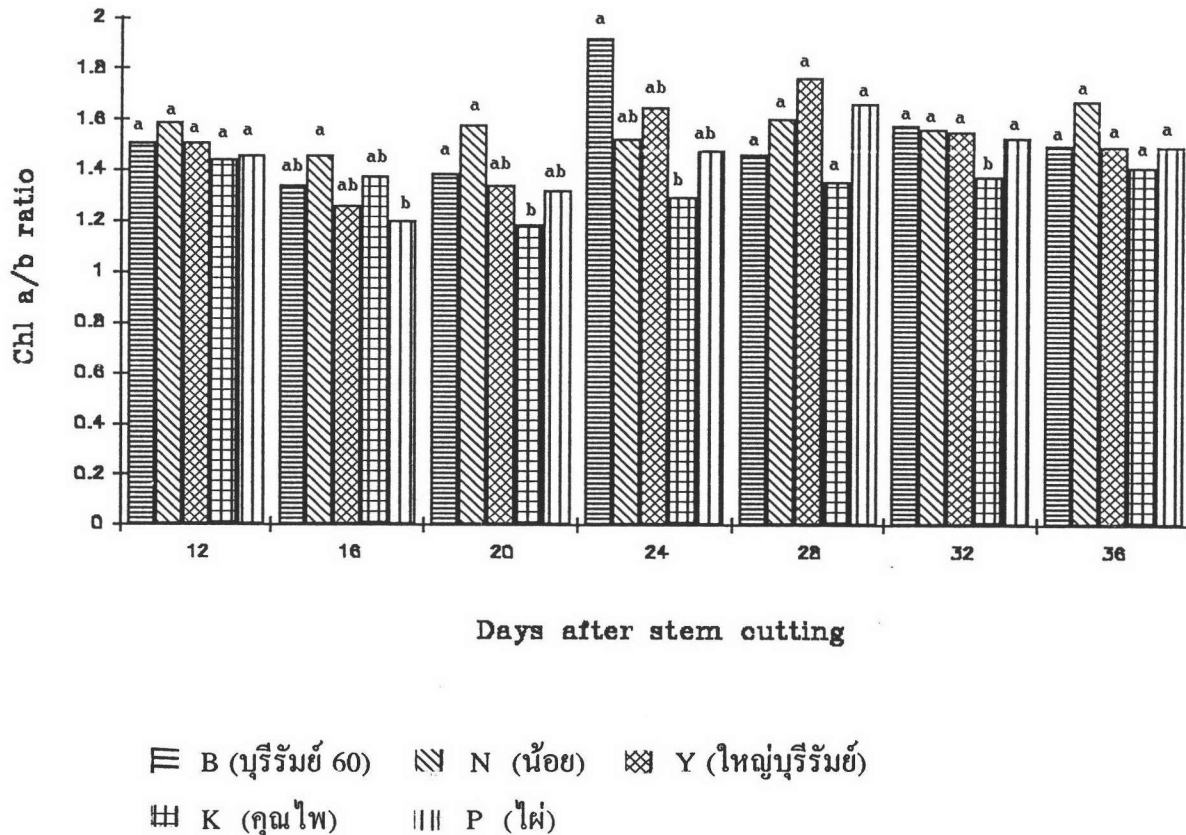
ภาพที่ 3.1 กราฟแสดงค่าเฉลี่ยปริมาณคลอโรฟิลล์ เอ (Chl a) และผลการวิเคราะห์ความแตกต่าง  
ค่าเฉลี่ยโดยวิธี DMRT (Duncan's Multiple Range Test) ค่าเฉลี่ยที่มีตัวอักษรเหมือน  
กันกำกับอยู่ไม่มีความแตกต่างกันทางสถิติที่ระดับความเชื่อมั่น 95% ของหมู่อน  
ทดลอง 5 พันธุ์ ที่อายุหลังปักชำกิ่ง 12, 16, 20, 24, 28, 32 และ 36 วัน



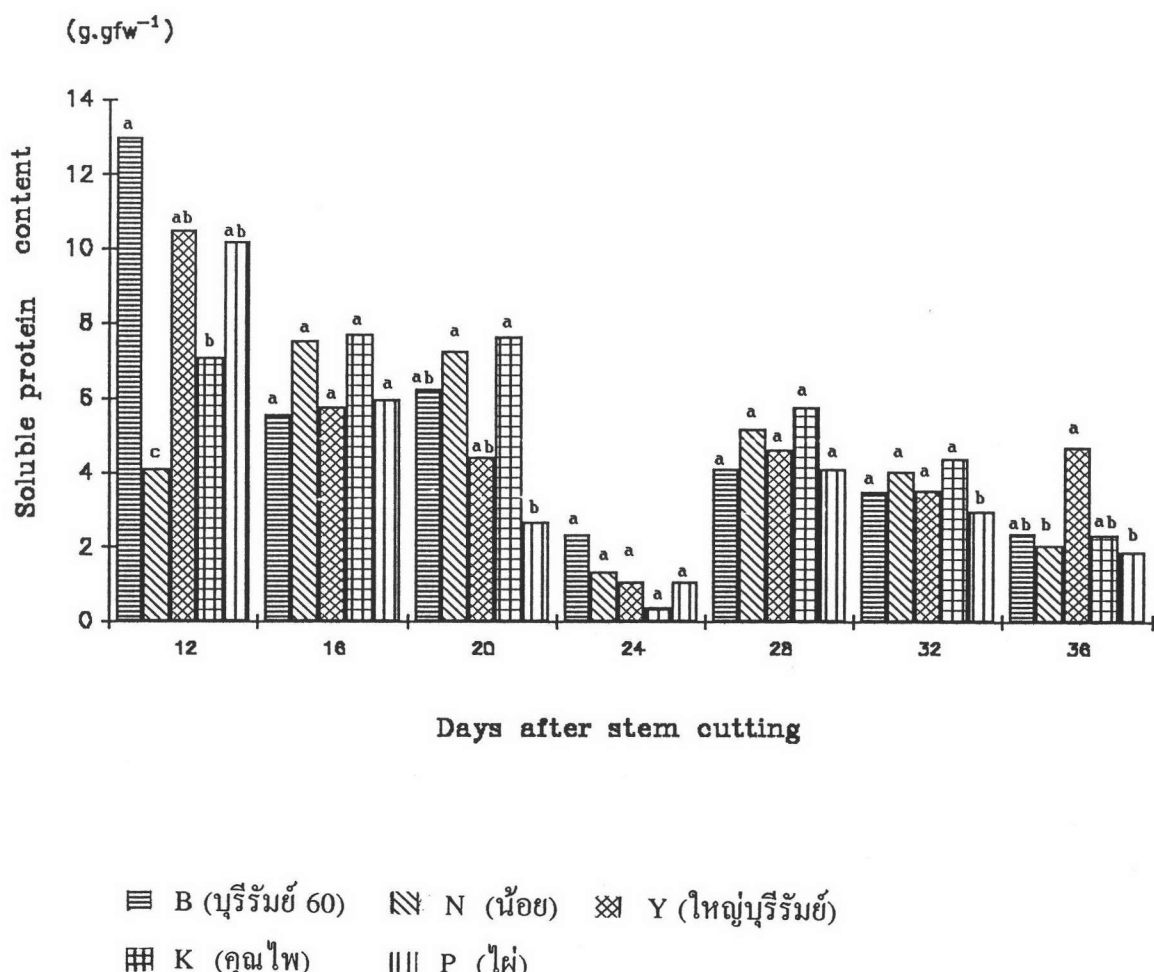
ภาพที่ 3.2 กราฟแสดงค่าเฉลี่ยปริมาณคลอโรฟิลล์ b (Chl b) และผลการวิเคราะห์ความแตกต่างค่าเฉลี่ยโดยวิธี DMRT (Duncan's Multiple Range Test) ค่าเฉลี่ยที่มีตัวอักษรเหมือนกันกำกับอยู่ไม่มีความแตกต่างกันทางสถิติที่ระดับความเชื่อมั่น 95% ของหมู่อนทดลอง 5 พันธุ์ ที่อายุหลังปักชำกิ่ง 12, 16, 20, 24, 28, 32 และ 36 วัน



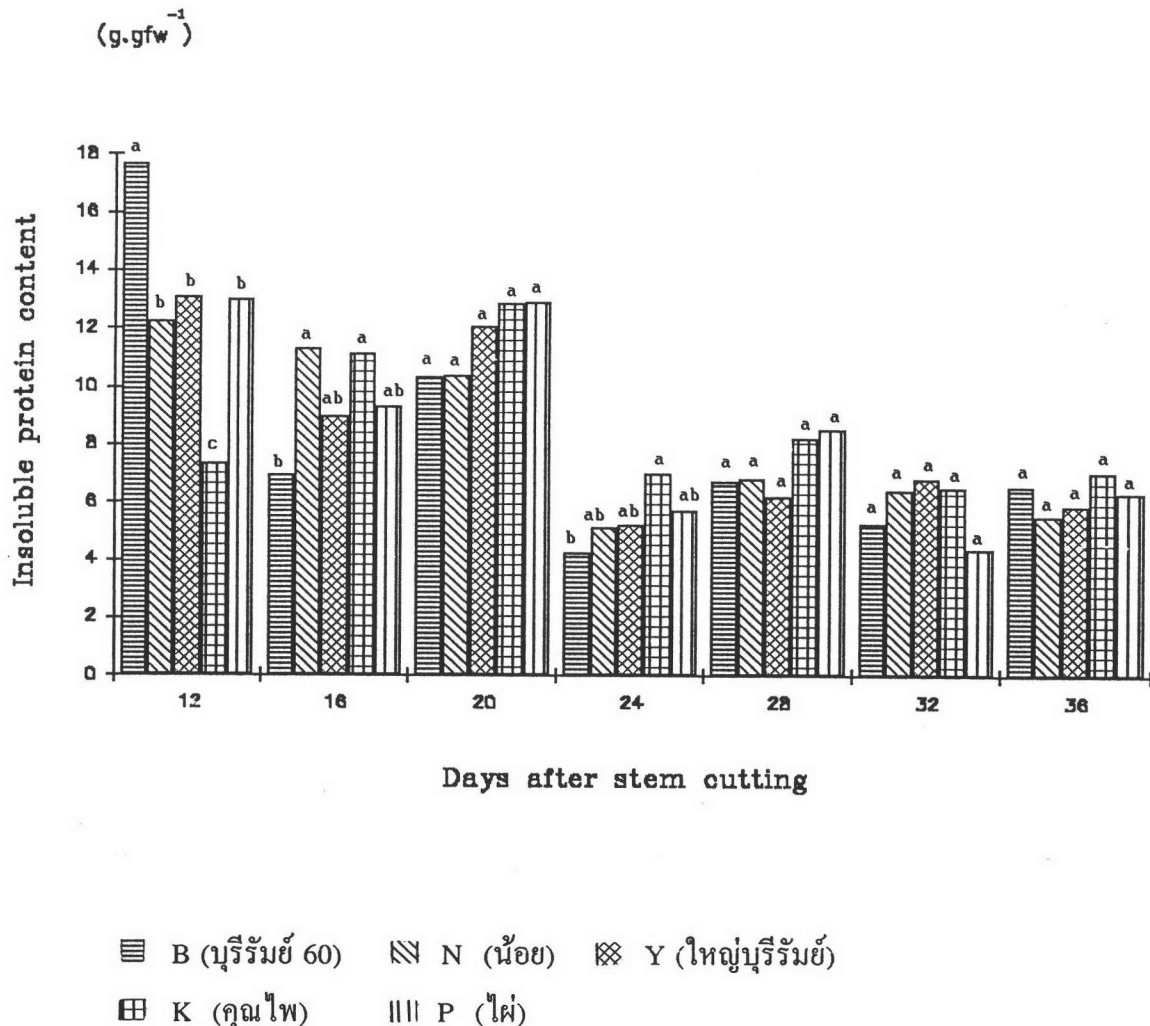
ภาพที่ 3.3 กราฟแสดงค่าเฉลี่ยปริมาณคลอโรฟิลล์ เอ+บี (Chl a+b) และผลการวิเคราะห์ความแตกต่างค่าเฉลี่ยโดยวิธี DMRT (Duncan's Multiple Range Test) ค่าเฉลี่ยที่มีตัวอักษรเหมือนกันกำกับอยู่ไม่มีความแตกต่างกันทางสถิติที่ระดับความเชื่อมั่น 95% ของหมู่อนทดลอง 5 พันธุ์ ที่อายุหลังปักชำกิ่ง 12, 16, 20, 24, 28, 32 และ 36 วัน



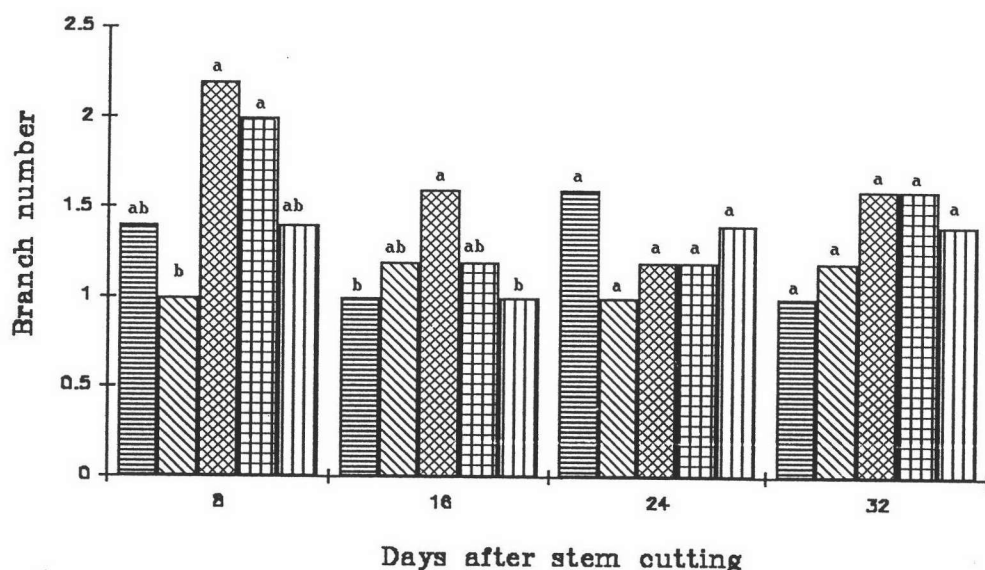
ภาพที่ 3.4 กราฟแสดงค่าเฉลี่ยปริมาณ Chl a/b ratio และผลการวิเคราะห์ความแตกต่างค่าเฉลี่ย โดยวิธี DMRT (Duncan's Multiple Range Test) ค่าเฉลี่ยที่มีตัวอักษรเหมือนกันกำกับอยู่ไม่มีความแตกต่างกันทางสถิติที่ระดับความเชื่อมั่น 95% ของหมื่นทดสอบ 5 พันครั้ง ที่อายุหลังปักชำกิ่ง 12, 16, 20, 24, 28, 32 และ 36 วัน



ภาพที่ 3.5 กราฟแสดงค่าเฉลี่ยปริมาณ Soluble protein (SP) และผลการวิเคราะห์ความแตกต่าง ค่าเฉลี่ยโดยวิธี DMRT (Duncan's Multiple Range Test) ค่าเฉลี่ยที่มีตัวอักษรเหมือน กันกำกับอยู่ไม่มีความแตกต่างกันทางสถิติที่ระดับความเชื่อมั่น 95% ของหมื่น ทดลอง 5 พันธุ์ ที่อายุหลังปักชำกิ่ง 12, 16, 20, 24, 28, 32 และ 36 วัน

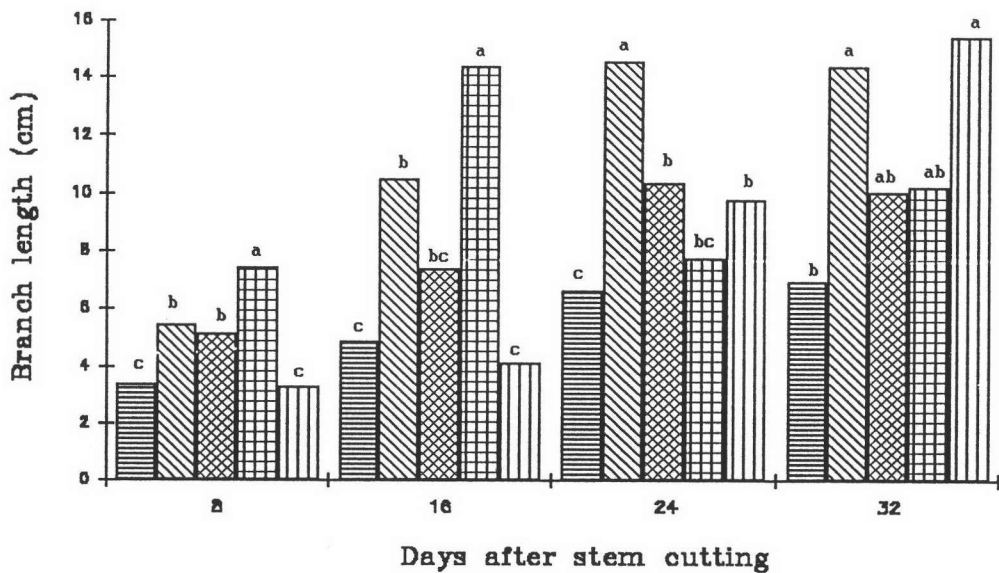


ภาพที่ 3.6 กราฟแสดงค่าเฉลี่ยปริมาณ Insoluble protein (ISP) และผลการวิเคราะห์ความแตกต่างค่าเฉลี่ยโดยวิธี DMRT (Duncan's Multiple Range Test) ค่าเฉลี่ยที่มีตัวอักษรเหมือนกันกำกับอยู่ไม่มีความแตกต่างกันทางสถิติที่ระดับความเชื่อมั่น 95% ของหมื่นทดลอง 5 พันครั้ง ที่อายุหลังปักชำกิ่ง 12, 16, 20, 24, 28, 32 และ 36 วัน



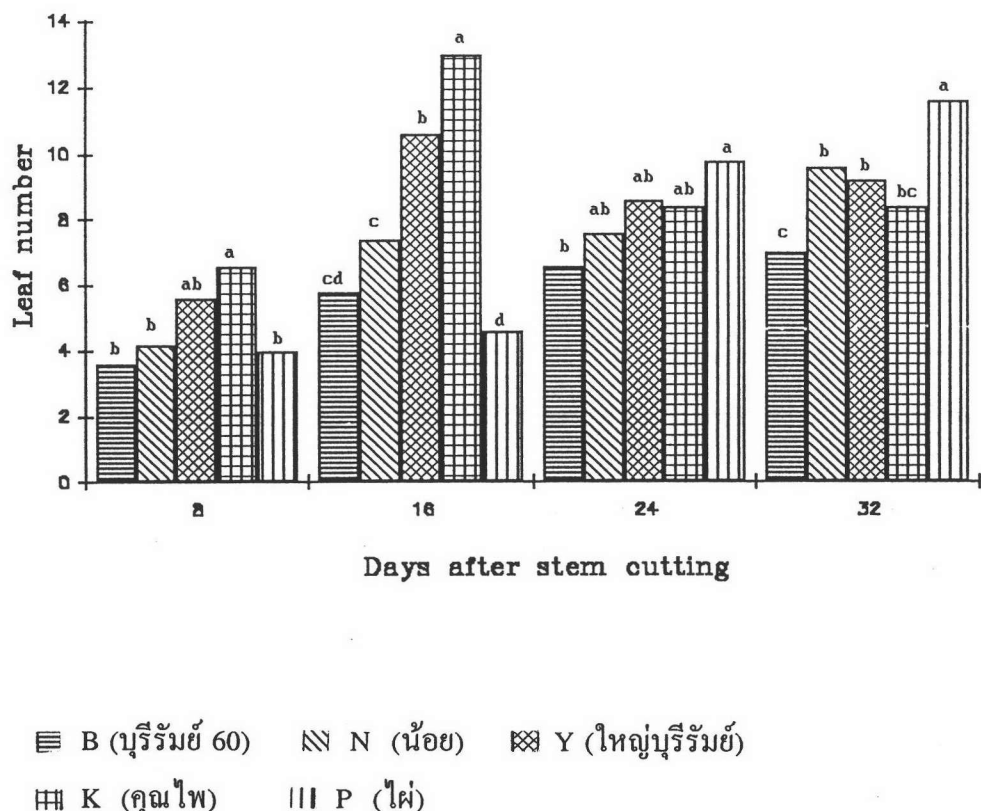
☰ B (บุรีรัมย์ 60)    ☐ N (น้ำอย)    ☒ Y (ไทรบุรีรัมย์)  
 ■ K (คุณไพ)    □ P (ไผ)

ภาพที่ 3.7 กราฟแสดงค่าเฉลี่ยจำนวนกิ่ง (Branch number) และผลการวิเคราะห์ความแตกต่างค่าเฉลี่ยโดยวิธี DMRT (Duncan's Multiple Range Test) ค่าเฉลี่ยที่มีตัวอักษรเหมือนกัน กำกับอยู่ไม่มีความแตกต่างกันทางสถิติที่ระดับความเชื่อมั่น 95% ของหมื่นทดสอบ 5 พันครั้ง ที่อายุหลังปักชำกิ่ง 8, 16, 24 และ 32 วัน

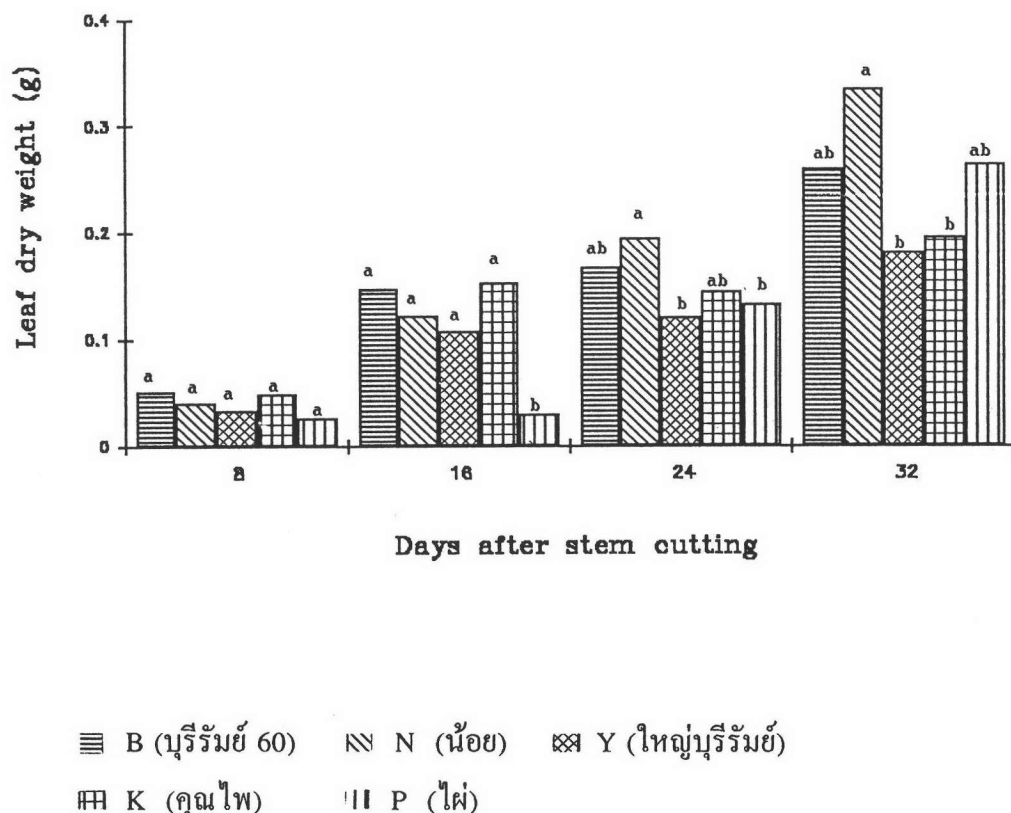


≡ B (บุรีรัมย์ 60)    ≡ N (น้อຍ)    ≡ Y (ใหญ่บุรีรัมย์)  
 ≡ K (คุณไพบูลย์)    ≡ P (ไฝ)

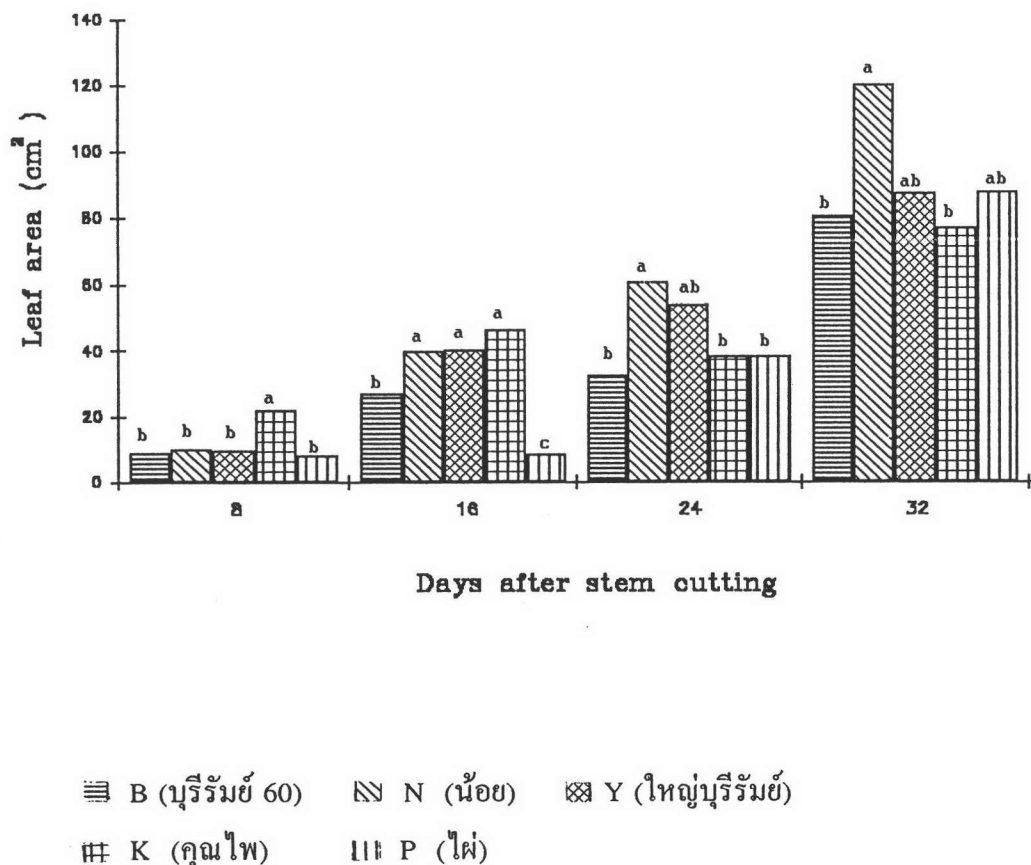
ภาพที่ 3.8 กราฟแสดงค่าเฉลี่ยความยาวกิ่ง (Branch length) และผลการวิเคราะห์ความแตกต่าง ค่าเฉลี่ยโดยวิธี DMRT (Duncan's Multiple Range Test) ค่าเฉลี่ยที่มีตัวอักษรเหมือน กันกำกับอยู่ไม่มีความแตกต่างกัน ทางสถิติที่ระดับความเชื่อมั่น 95% ของหมื่น ทดลอง 5 พันธุ์ ที่อายุหลังจากปักชำกิ่ง 8, 16, 24 และ 32 วัน



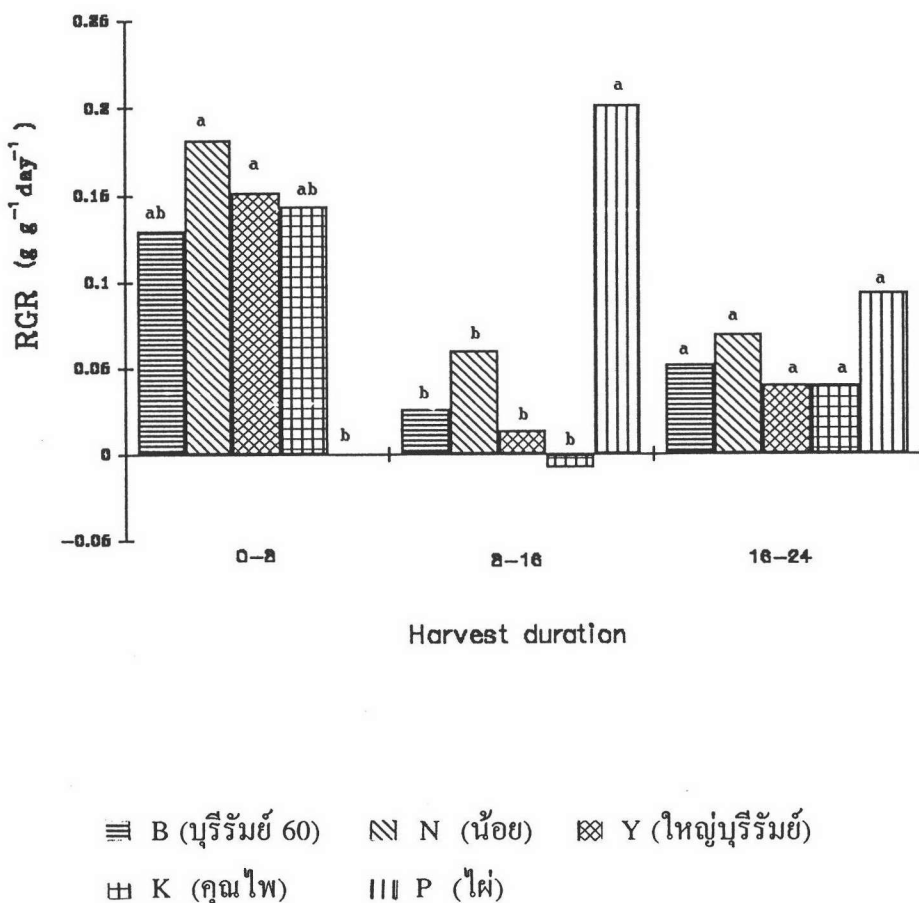
ภาพที่ 3.9 กราฟแสดงค่าเฉลี่ยจำนวนใบ (Leaf number) และผลการวิเคราะห์ความแตกต่างค่าเฉลี่ยโดยวิธี DMRT (Duncan's Multiple Range Test) ค่าเฉลี่ยที่มีตัวอักษรเหมือนกันกำกับอยู่ไม่มีความแตกต่างกันทางสถิติที่ระดับความเชื่อมั่น 95% ของหมื่นทดสอบ 5 พันครั้งที่อายุหลังจากปักชำกิ่ง 8, 16, 24 และ 32 วัน



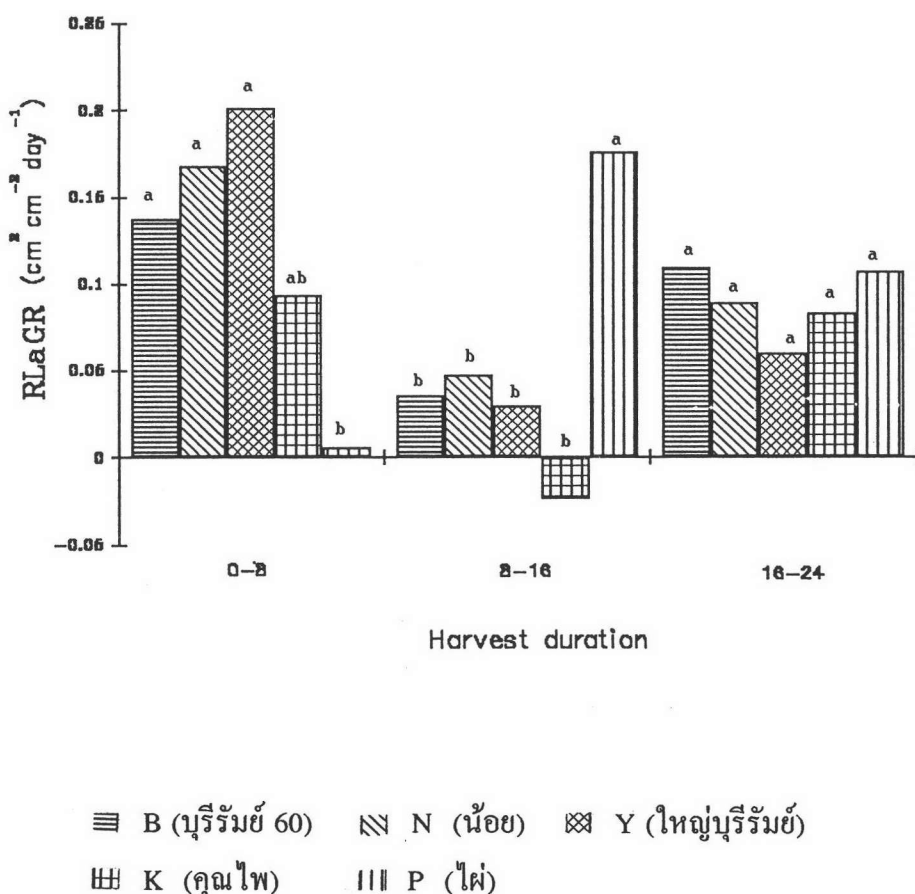
ภาพที่ 3.10 กราฟแสดงค่าเฉลี่ยน้ำหนักแห้งใบ (Leaf dry weight) และผลการวิเคราะห์ความแตกต่างค่าเฉลี่ยโดยวิธี DMRT (Duncan's Multiple Range Test) ค่าเฉลี่ยที่มีตัวอักษรเหมือนกันกำกับอยู่ไม่มีความแตกต่างกันทางสถิติที่ระดับความเชื่อมั่น 95% ของหมื่นทดสอบ 5 พันครั้ง ที่อายุหลังจากปักชำกิ่ง 8, 16, 24 และ 32 วัน



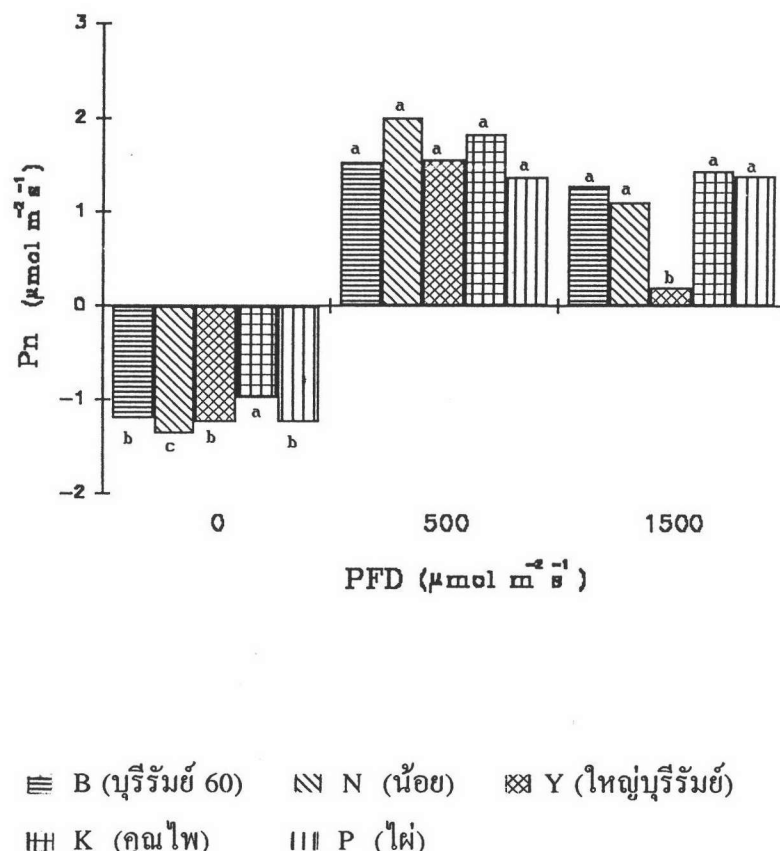
ภาพที่ 3.11 กราฟแสดงค่าเฉลี่ยพื้นที่ใบ (Leaf area) และผลการวิเคราะห์ความแตกต่างค่าเฉลี่ยโดยวิธี DMRT (Duncan's Multiple Range Test) ค่าเฉลี่ยที่มีตัวอักษรเหมือนกัน กำกับอยู่ในเมื่อความแตกต่างกันทางสถิติที่ระดับความเชื่อมั่น 95% หมู่อนทดลอง 5 พันธุ์ ที่อายุหลังจากปักชำกิ่ง 8, 16, 24 และ 32 วัน



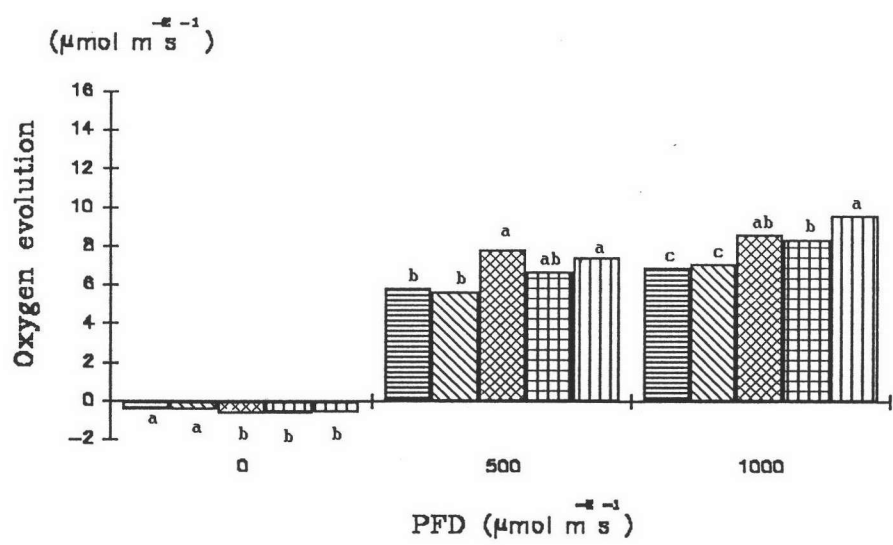
ภาพที่ 3.12 กราฟแสดงค่าเฉลี่ยของ RGR (Relative Growth Rate) และผลการวิเคราะห์ความแตกต่างค่าเฉลี่ยโดยวิธี DMRT (Duncan's Multiple Range Test) ค่าเฉลี่ยที่มีตัวอักษรเหมือนกันกำกับอยู่ไม่มีความแตกต่างกันทางสถิติที่ระดับความเชื่อมั่น 95% ของหมอนทดสอบ 5 พันครั้ง ที่ช่วงวัน 0-8, 8-16, และ 16-24



ภาพที่ 3.13 กราฟแสดงค่าเฉลี่ยของ RLaGR (Relative Leaf area Growth Rate) และผลการวิเคราะห์ความแตกต่างค่าเฉลี่ย โดยวิธี DMRT (Duncan's Multiple Range Test) ค่าเฉลี่ยที่มีตัวอักษรเหมือนกันกำกับอยู่ไม่มีความแตกต่างกันทางสถิติที่ระดับความเชื่อมั่น 95% ของหมื่นทดสอบ 5 พันครั้ง ที่ช่วงวัน 0-8, 8-16 และ 16-24



ภาพที่ 3.14 กราฟแสดงค่าเฉลี่ย  $Pn$  (Net Photosynthesis) และผลการวิเคราะห์ความแตกต่างค่าเฉลี่ยโดยวิธีDMRT (Duncan's Multiple Range Test) ค่าเฉลี่ยที่มีตัวอักษรเหมือนกันกำกับอยู่ไม่มีความแตกต่างกันทางสถิติที่ระดับความเชื่อมั่น 95% ของหมู่อนทดลอง 5 พันธุ์ วัดการหายใจในที่มืด และที่ความเข้มแสง 500 และ  $1,500 \mu\text{mol m}^{-2}\text{s}^{-1}$



█ B (บุรีรัมย์ 60)   █ N (น้อด)   █ Y (ใหญ่บุรีรัมย์)  
 █ K (คุณไพบูลย์)   █ P (ไผ่)

ภาพที่ 3.15 กราฟแสดงค่าเฉลี่ย Oxygen evolution และผลการวิเคราะห์ความแตกต่าง  
 ค่าเฉลี่ย โดยวิธี DMRT (Duncan's Multiple Range Test) ค่าเฉลี่ยที่มีตัวอักษร  
 เหมือนกันกำกับอยู่ไม่มีความแตกต่างกันทางสถิติที่ระดับความเชื่อมั่น 95%  
 ของหนอนทดลอง 5 พันธุ์ วัดการหายใจในที่มืด และที่ความเข้มแสง 500 และ  
 1,000  $\mu\text{mol m}^{-2} \text{s}^{-1}$

ตารางที่ 5.16 ค่าเฉลี่ยและค่าเบี่ยงเบนมาตรฐาน (ในวงเล็บ)ของลักษณะสัมฐานวิทยา 8  
ลักษณะ ของหมื่น 5 พันธุ์ เมื่ออายุของกิงปักชำ 14 วัน

พันธุ์	BN	BL	NN	LN
B	1.05 (.223)	5.44 (1.457)	5.02 (.697)	3.20 (1.239)
N	1.15 (.366)	8.10 (4.167)	4.82 (1.515)	4.65 (1.308)
Y	1.65 (.988)	9.60 (3.871)	4.99 (1.291)	6.40 (2.603)
K	1.25 (.444)	11.34 (5.558)	5.85 (1.556)	4.70 (1.301)
P	1.15 (.366)	10.15 (5.361)	7.40 (2.161)	5.05 (2.964)

พันธุ์	LB	LL	ARL	RL
B	4.51 (1.145)	5.19 (1.252)	2.34 (1.517)	3.11 (1.583)
N	5.27 (1.195)	6.30 (1.521)	4.00 (.905)	4.73 (1.437)
Y	4.48 (1.694)	5.92 (1.869)	2.60 (1.899)	3.05 (2.264)
K	4.02 (1.039)	5.31 (1.528)	3.21 (1.182)	3.65 (1.089)
P	3.37 (1.696)	3.93 (1.730)	1.97 (1.324)	2.42 (1.741)

หมายเหตุ ดูคำอธิบายลักษณะสัมฐานวิทยาในบทที่ 2

ตารางที่ 5.17 การวิเคราะห์ความแปรปรวนแบบทางเดียวของลักษณะสัมฐานวิทยา  
8 ลักษณะของหม่อน 5 พันธุ์ เมื่ออายุของกิงปีกช่า 14 วัน (degree of  
freedom เท่ากับ 4 และ 95 )

Variable	Wilks' Lambda	F	Significance
BN	.86565	3.686	.0078*
BL	.81252	5.480	.0005*
NN	.70468	9.953	.0000**
LN	.78887	6.356	.0001**
LB	.82278	5.115	.0009**
LL	.78701	6.427	.0001**
ARL	.78710	6.424	.0001**
LRL	.81571	5.366	.0006**

ตารางที่ 5.18 ค่าทางสถิติของสมการจัดจำแนกจากการวิเคราะห์ลักษณะสัมฐานวิทยา  
8 ลักษณะ ของหม่อน 5 พันธุ์ เมื่ออายุของกิงปีกช่า 14 วัน

Fcn	Eigen value	Pct of Variance	Cum Pct	Canonical Corr	Wilks' Lambda	Chisquare	DF	Sig
1	1.1953	47.44	47.44	.7379	.1678	165.102	32	.0000
2	.9673	38.39	85.84	.7012	.3684	92.367	21	.0000
3	.2730	10.84	96.67	.4631	.7248	29.774	12	.0030
4	.0838	3.33	100.00	.2781	.9227	7.443	5	.1897

ตารางที่ 5.19 ค่า Standardized Canonical Discriminant Function Coefficients ของ  
ลักษณะสัมฐานวิทยา 8 ลักษณะ ของหมื่น 5 พันธุ์ ของสมการจัด  
จำแนกแต่ละสมการเมื่ออายุของกิงปักชำ 14 วัน

Variable	FUNC 1	FUNC 2	FUNC 3	FUNC 4
BN	.00165	.79784	.01394	-.61045
BL	.70730	1.34140	.95303	-.87414
NN	-1.32681	.00051	-.19635	.42108
LN	.64591	-.26145	-.83018	1.10762
LB	-.94094	-.84685	-.11344	-.19757
LL	.98532	.10762	-.36159	-.01744
ARL	.13293	-.36440	.59095	.66823
LRL	.02840	.03797	.22004	-.02494

ตารางที่ 5.20 ค่า Pooled-within-groups correlations ระหว่างลักษณะสัมฐานวิทยา  
8 ลักษณะ ของหมื่น 5 พันธุ์ กับสมการจัดจำแนกแต่ละสมการ เมื่อ  
อายุของกิงปักชำ 14 วัน

Variable	FUNC 1	FUNC 2	FUNC 3	FUNC 4
LL	.41280*	-.25847	.08227	.07458
BL	.09485	.43091*	.32126	.38150
LB	.25756	-.36936*	.04987	.20263
ARL	.28808	-.21231	.61793*	.52876
LRL	.23181	-.27079	.52403*	.43412
BN	.26537	.19714	-.34959*	.02734
LN	.26344	.33502	-.33117	.74228*
NN	-.41683	.43597	.10845	.53871*

\* ลักษณะสัมฐานวิทยาที่มีความสำคัญต่อสมการจัดจำแนก



ตารางที่ 5.21 เปอร์เซ็นต์การนำรายกลุ่มจากสมการที่ได้จากการวิเคราะห์การจัดจำแนก  
ลักษณะสัณฐานวิทยา 8 ลักษณะของหม่อน 5 พันธุ์ เมื่ออายุของกิงปีกช่า  
14 วัน

Actual Group	Cases	Predicted Group Membership				
		1	2	3	4	5
Group 1	20	17	2	0	0	1
		85.0%	10.0%	.0%	.0%	5.0%
Group 2	20	2	16	0	2	0
		10.0%	80.0%	.0%	10.0%	.0%
Group 3	20	1	3	12	3	1
		5.0%	15.0%	60.0%	15.0%	5.0%
Group 4	20	0	2	4	13	1
		.0%	10.0%	20.0%	65.0%	5.0%
Group 5	20	1	0	0	4	15
		5.0%	.0%	.0%	20.0%	75.0%

Percent of "grouped" cases correctly classified: 73.00%

ตารางที่ 5.22 ค่าเฉลี่ยและค่าเบี่ยงเบนมาตรฐาน (ในวงเล็บ) ของลักษณะสัณฐาน  
วิทยา 8 ลักษณะ ของหม่อน 5 พันธุ์ เมื่ออายุของกิงปักชำ 28 วัน



พันธุ์	BN	BL	NN	LN
B	1.55 (.510)	12.41 (3.725)	7.92 (1.498)	6.00 (1.414)
N	1.30 (.470)	23.59 (7.187)	10.90 (2.845)	6.90( 2.245)
Y	1.55 (.759)	21.61 (5.883)	9.60 (1.820)	8.70 (2.696)
K	1.65 (.489)	28.00 (8.582 )	10.75 (2.179)	8.50( 1.986)
P	1.65 (.489)	31.66 (6.338)	12.10 (1.803)	6.70 (1.780 )

พันธุ์	LB	LL	ARL	LRL
B	10.68 (1.177)	14.63 (2.337)	7.45 (1.781)	9.40 (2.634)
N	9.65 (.775)	11.68 (1.189)	6.80 (2.012 )	8.93 (3.774)
Y	9.98 (.862)	12.52 (1.377)	8.33 (2.267)	10.30 (3.278)
K	8.76 (1.059)	10.42 (1.495)	6.39 (1.152)	7.57 (1.616)
P	9.16 (.778)	10.11 (1.007)	7.12 (1.236)	8.12 (1.346)

หมายเหตุ คุณภาพนิยมลักษณะสัณฐานวิทยาในบทที่ 2

ตารางที่ 5.23 การวิเคราะห์ความแปรปรวนแบบทางเดียวของลักษณะสัมฐานวิทยา  
8 ลักษณะของหม่อน 5 พันธุ์ เมื่ออายุของกิงปักช่า 28 วัน(degree of  
freedom เท่ากับ 4 และ 95 )

Variable	Wilks' Lambda	F	Significance
BN	.94682	1.334	.2630 <sup>ns</sup>
BL	.48780	24.94	.0000**
NN	.67462	11.46	.0000**
LN	.78453	6.523	.0001**
LB	.65769	12.36	.0000**
LL	.46247	27.60	.0000**
ARL	.87011	3.546	.0097**
LRL	.88335	3.136	.0181*

ตารางที่ 5.24 ค่าทางสถิติของสมการจัดจำแนกจากการวิเคราะห์ลักษณะสัมฐานวิทยา  
8 ลักษณะ ของหม่อน 5 พันธุ์ เมื่ออายุของกิงปักช่า 28 วัน

Fcn	Eigen value	Pct of Variance	Cum Pct	Canonical Corr	Wilks' Lambda	Chisquare	DF	Sig
1	3.8121	84.65	84.65	.8901	.1131	201.640	32	.0000
2	.3925	8.72	93.37	.5309	.5440	56.310	21	.0000
3	.1770	3.93	97.30	.3878	.7575	25.684	12	.0119
4	.1216	2.70	100.00	.3292	.8916	10.613	5	.0596

ตารางที่ 5.25 ค่า Standardized Canonical Discriminant Function Coefficients  
ของลักษณะสัมฐานวิทยา 8 ลักษณะ ของหมื่น 5 พันธุ์ ของสมการจัด  
จำแนกแต่ละสมการ เมื่ออายุของกิงปีกชำ 28 วัน

Variable	FUNC 1	FUNC 2	FUNC 3	FUNC 4
BN	.40296	-.47982	.58653	.70800
BL	.94456	.26294	.40166	.29036
NN	.19210	-.41808	-.22404	-.41972
LN	.03437	1.17593	-.16975	-.10267
LB	-.18104	-.05548	.58061	-.59829
LL	-.64141	.16888	-.24993	.53095
ARL	-.27151	-.09843	.94650	.23348
LRL	.16081	.23006	-.16273	-.59642

ตารางที่ 5.26 ค่า Pooled-within-groups correlations ระหว่างลักษณะสัมฐานวิทยา  
8 ลักษณะ ของหมื่น 5 พันธุ์ กับสมการจัดจำแนกแต่ละสมการเมื่ออายุ  
ของกิงปีกชำ 28 วัน

Variable	FUNC 1	FUNC 2	FUNC 3	FUNC 4
LL	-.55113*	-.03147	.13676	.07550
BL	.52258*	-.02040	.18578	-.14887
LN	.09898	.77356*	.05536	.12522
ARL	-.09862	.20696	.70567*	-.24463
LB	-.35288	-.14094	.37819*	-.32285
BN	.03719	.01552	.25619	.56770*
NN	.33900	-.18101	.02852	-.50682*
LRL	-.13229	.19710	.38359	-.44483*

\* ลักษณะสัมฐานวิทยาที่มีความสำคัญต่อสมการจัดจำแนก

ตารางที่ 5.27 เปอร์เซนต์การทำนายกลุ่มจากสมการที่ได้จากการวิเคราะห์การ  
จัดจำแนกถักยณะสัณฐานวิทยา 8 ถักยณะของหมื่น 5 พันธุ์ เมื่อ<sup>เมื่อ</sup>  
อายุของกิงปีกช่า 28 วัน

Actual Group	Cases	Predicted Group Membership				
		1	2	3	4	5
Group 1	20	19	0	1	0	0
		95.0%	.0%	5.0%	.0%	.0%
Group 2	20	1	13	3	3	0
		5.0%	65.0%	15.0%	15.0%	.0%
Group 3	20	1	4	14	0	1
		5.0%	20.0%	70.0%	.0%	5.0%
Group 4	20	0	2	1	15	2
		.0%	10.0%	5.0%	75.0%	10.0%
Group 5	20	0	1	0	4	15
		.0%	5.0%	.0%	20.0%	75.0%

Percent of "grouped" cases correctly classified: 76.0%